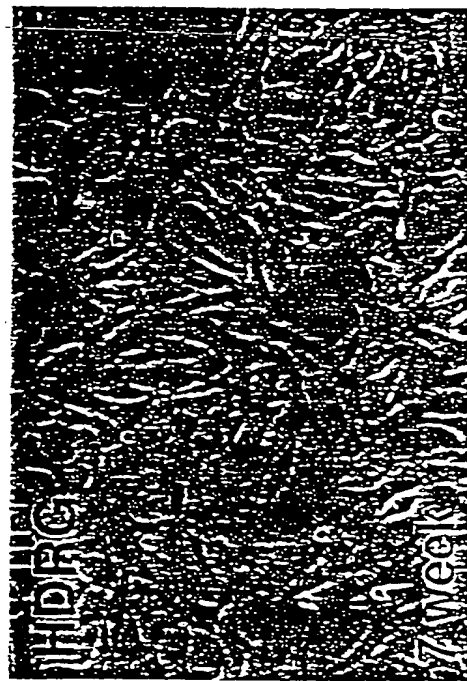


FIG. 1A and 1B



A



B

FIG. 2A-2D

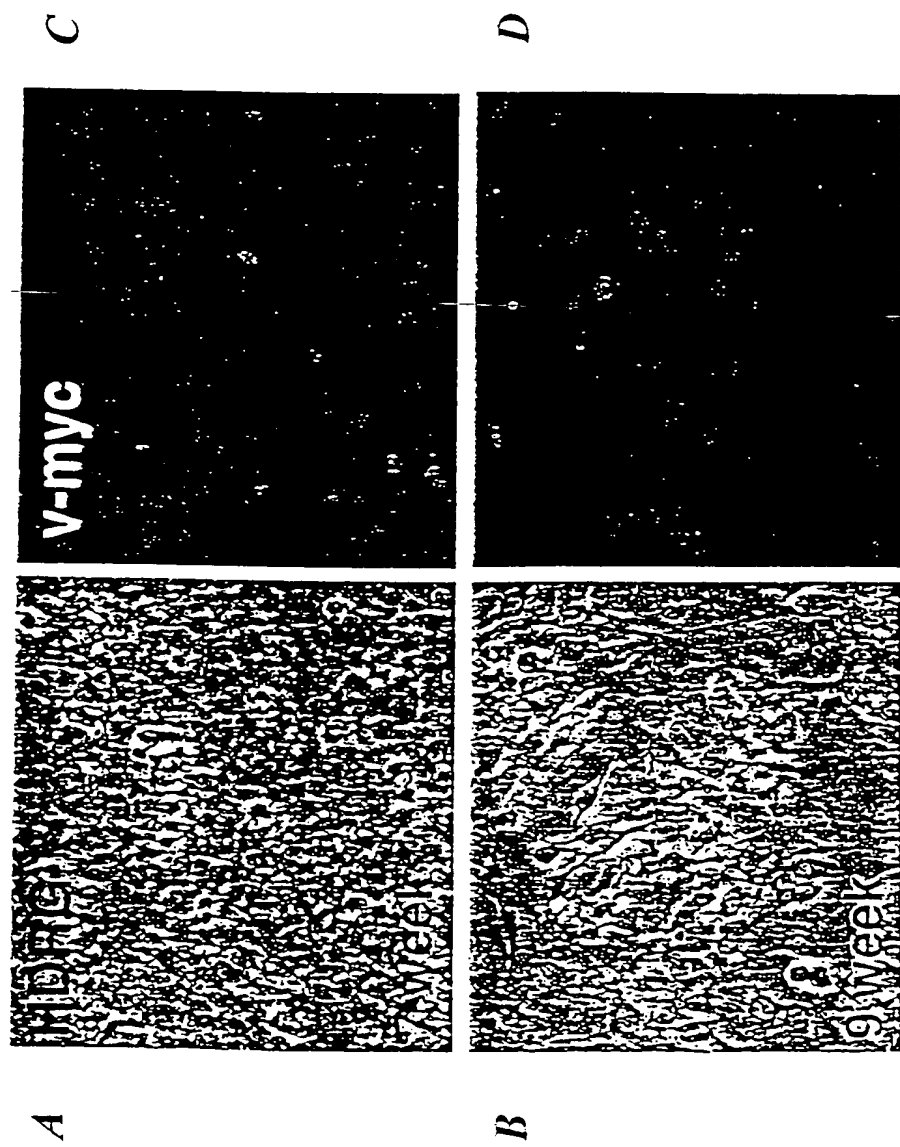


FIG. 3A and 3B

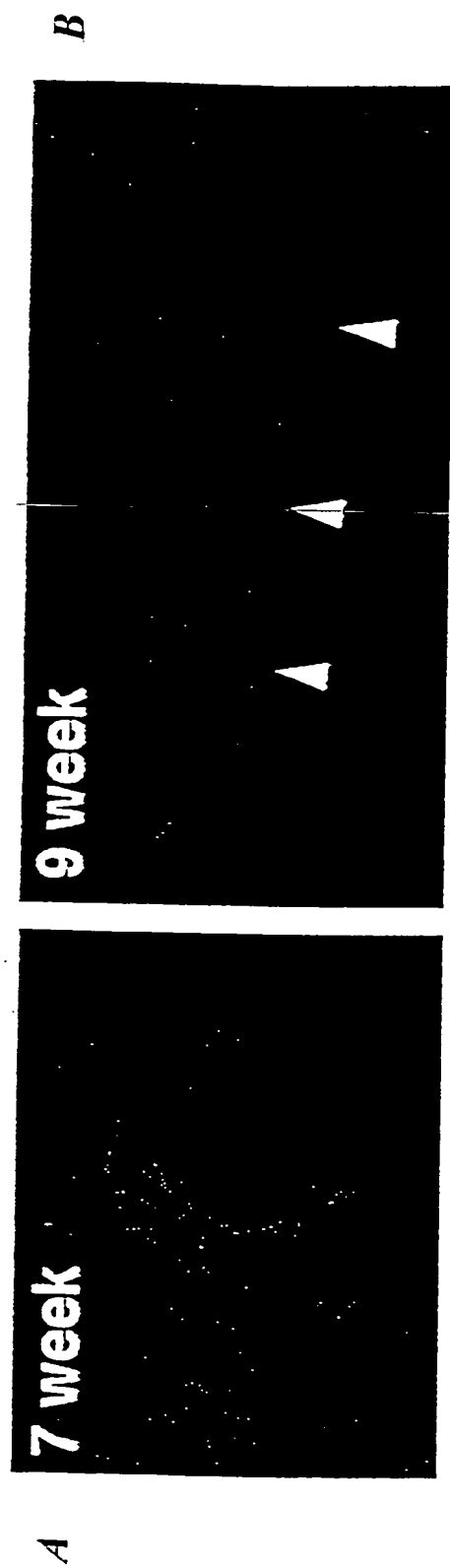


FIG. 4A-4D

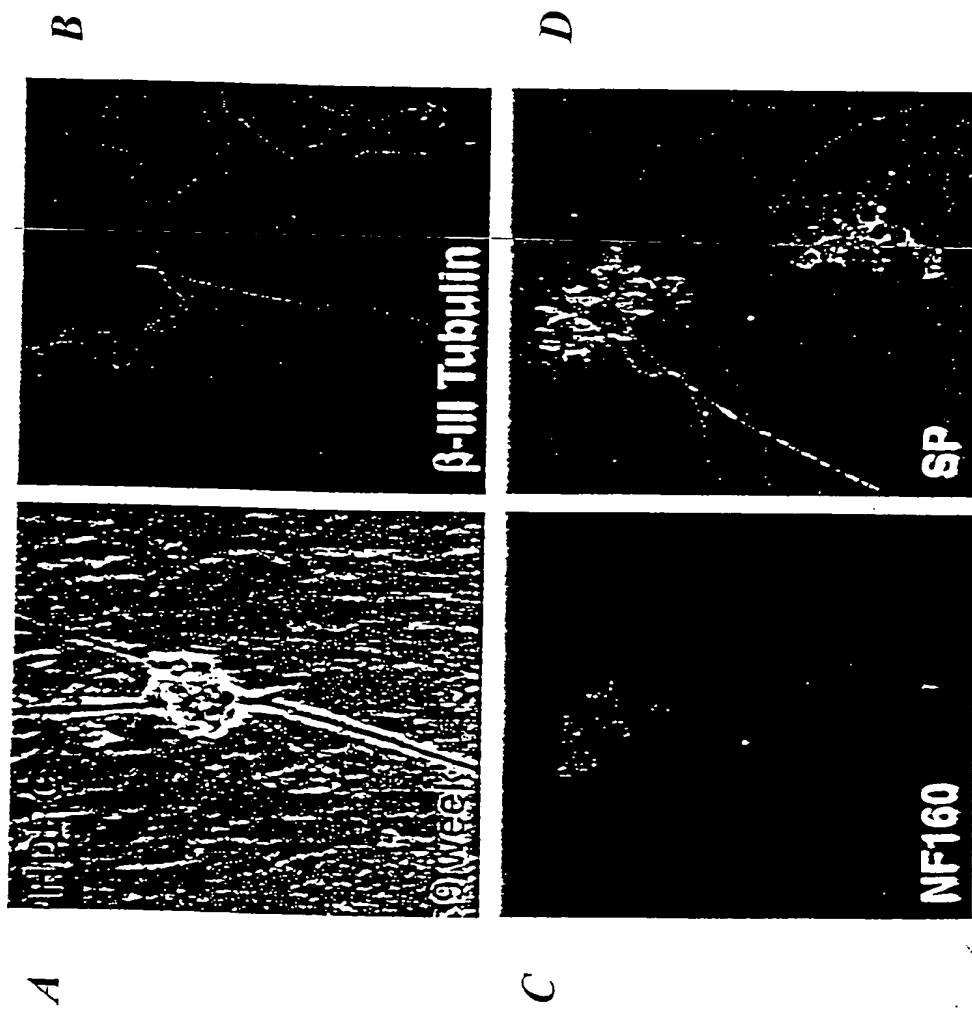


FIG. 5

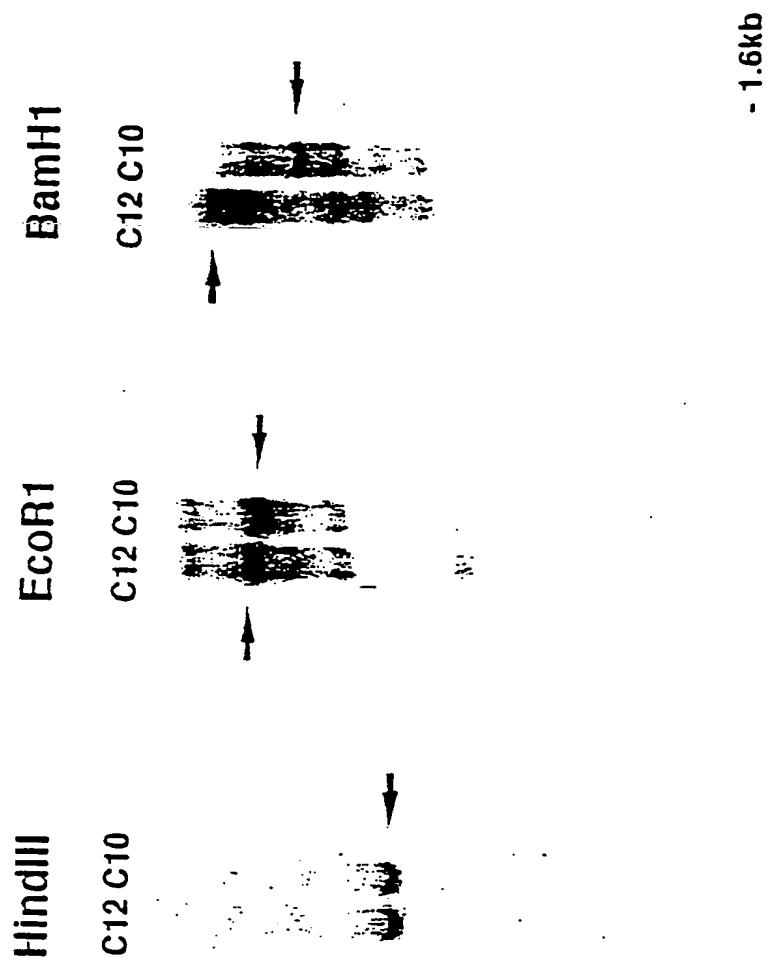


FIG. 6A and 6B



A



B

FIG. 7A-7E

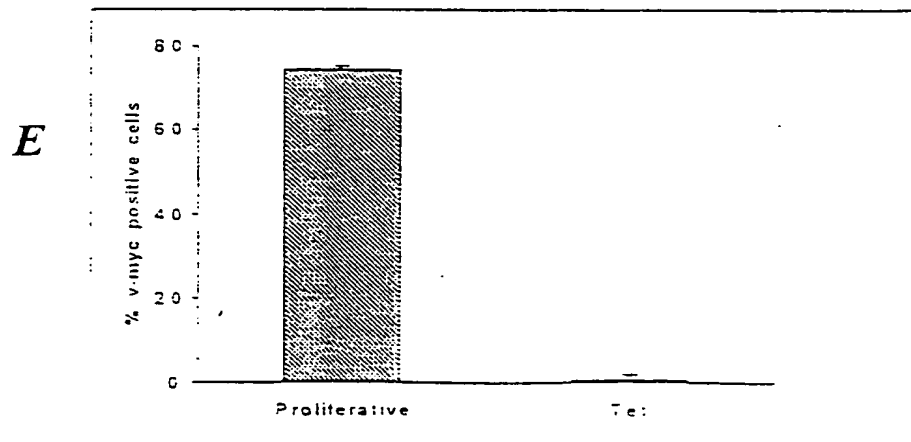
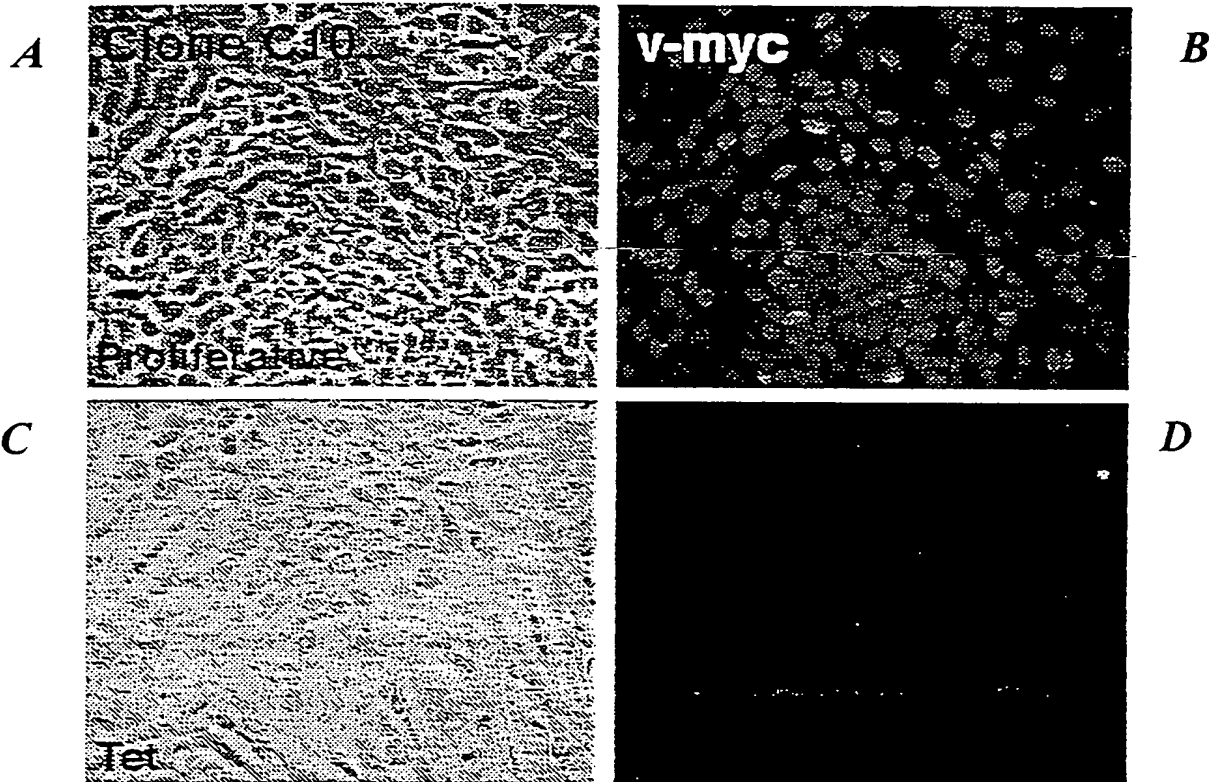


FIG. 8A-8C

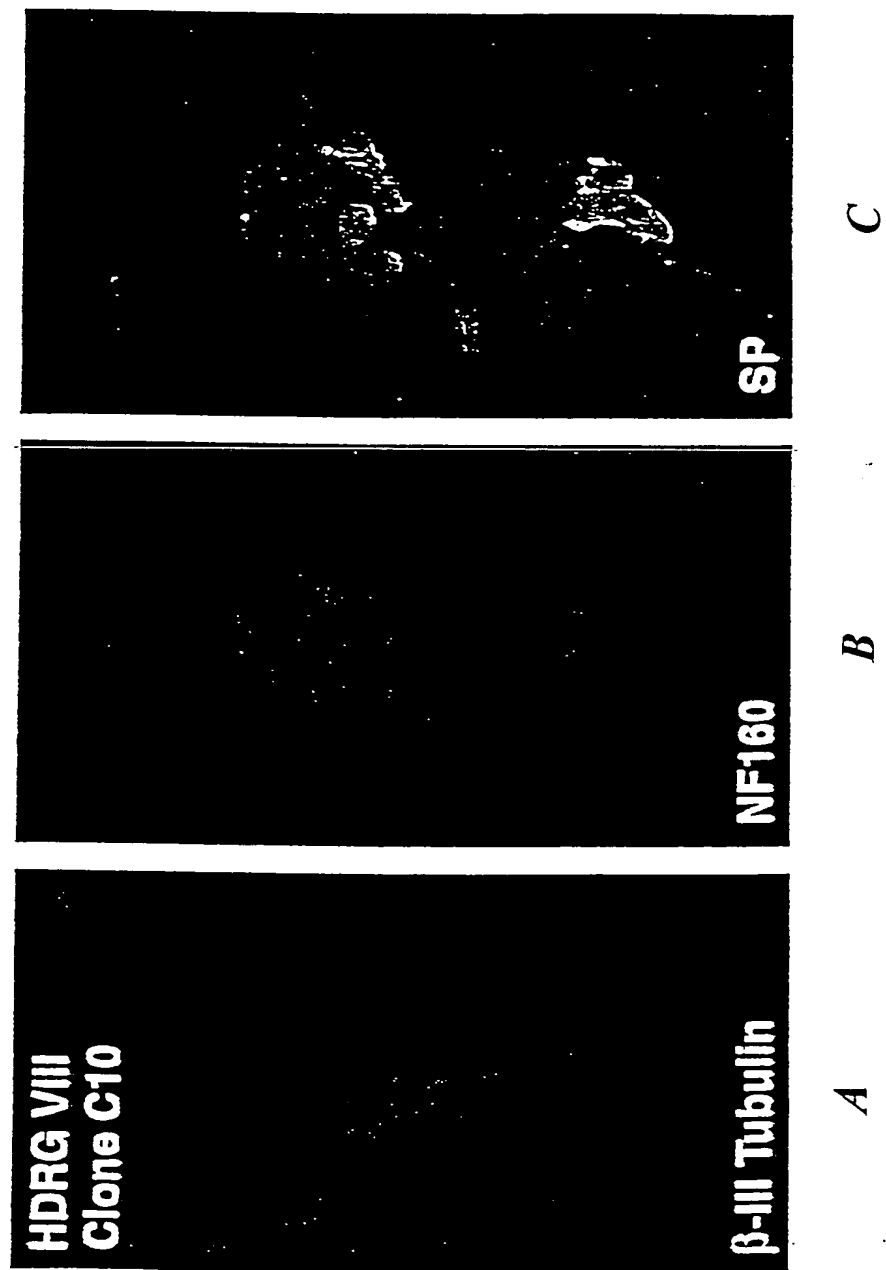


FIG. 9

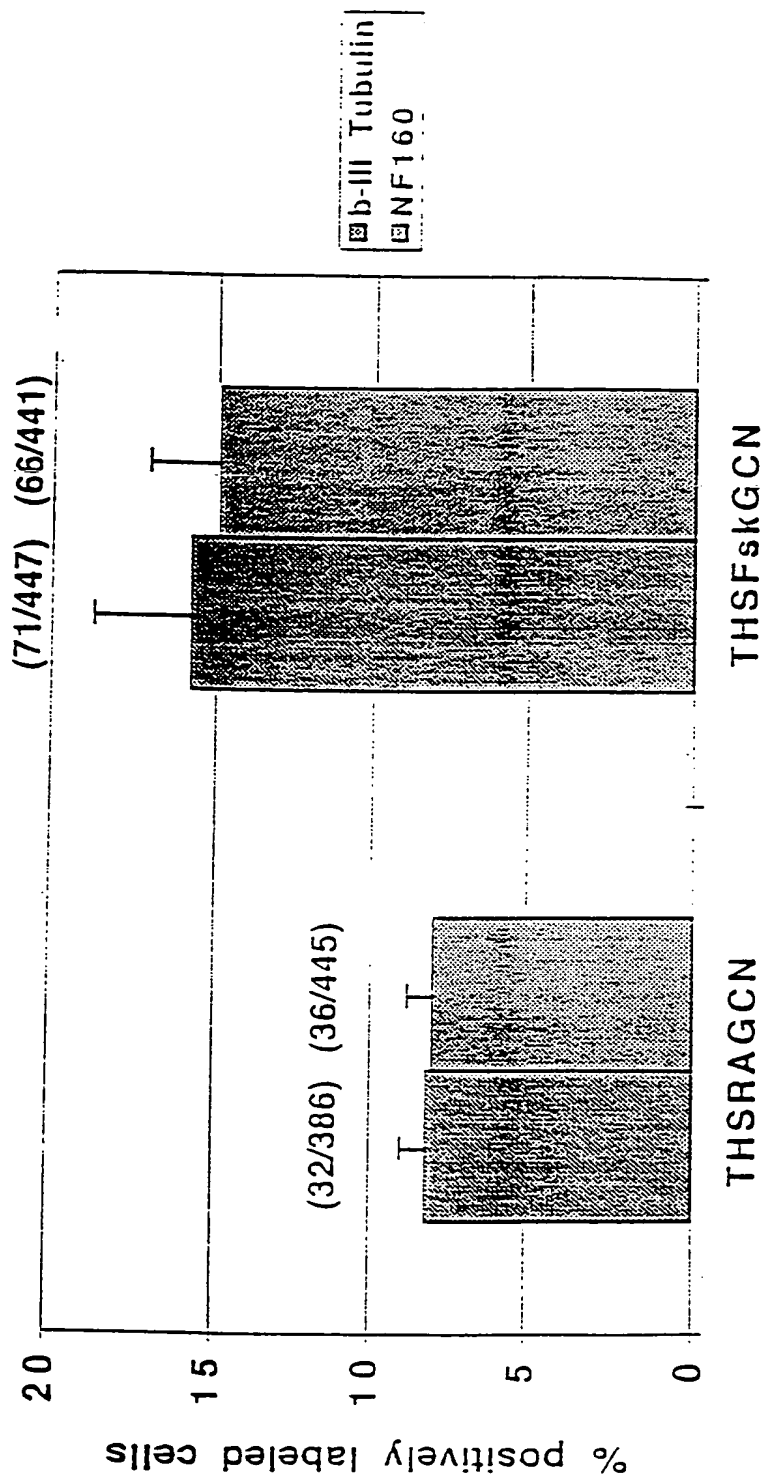
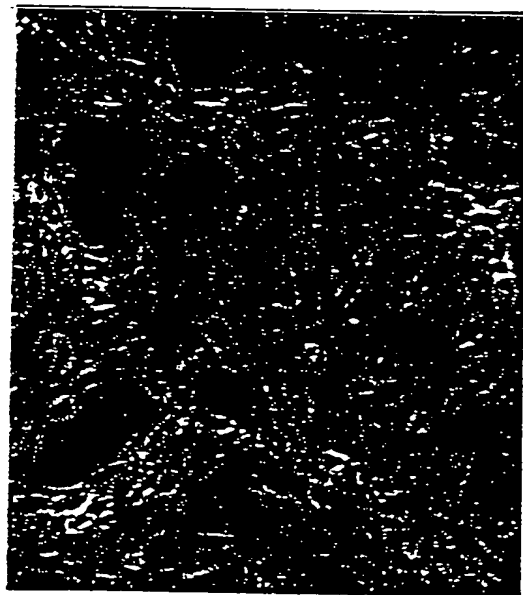
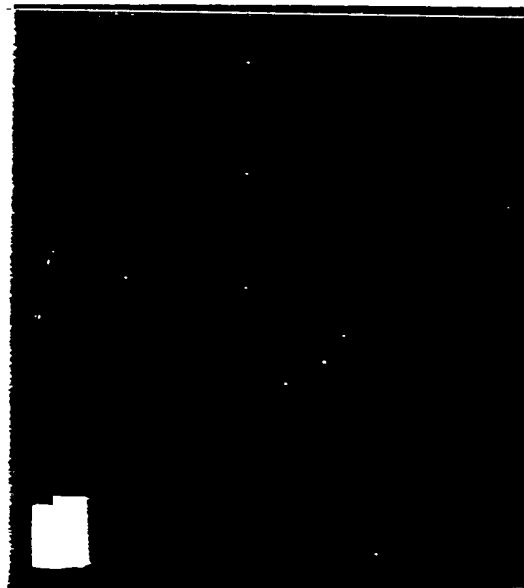


FIG. 10A and 10B



A



B

FIG. 11A-11D

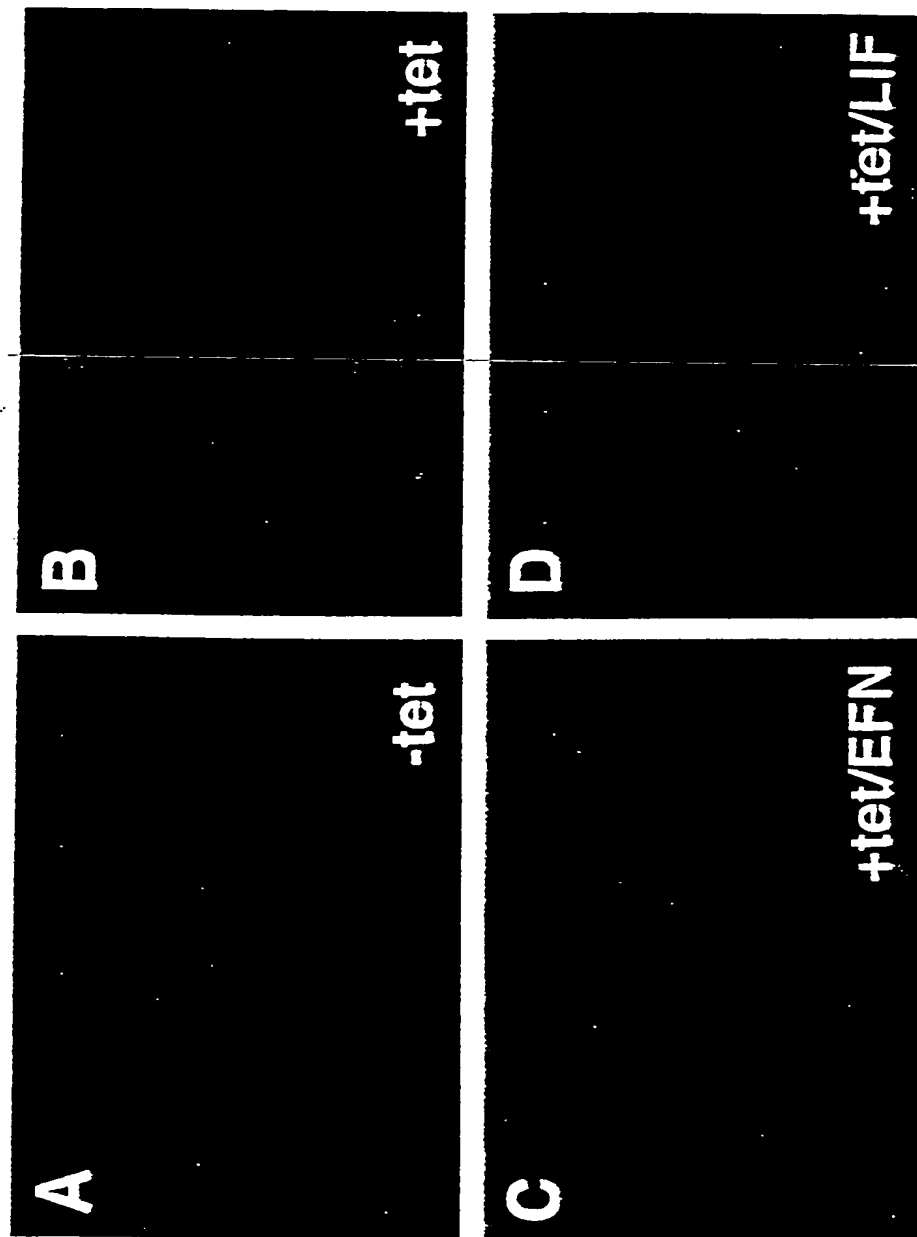


FIG. 12

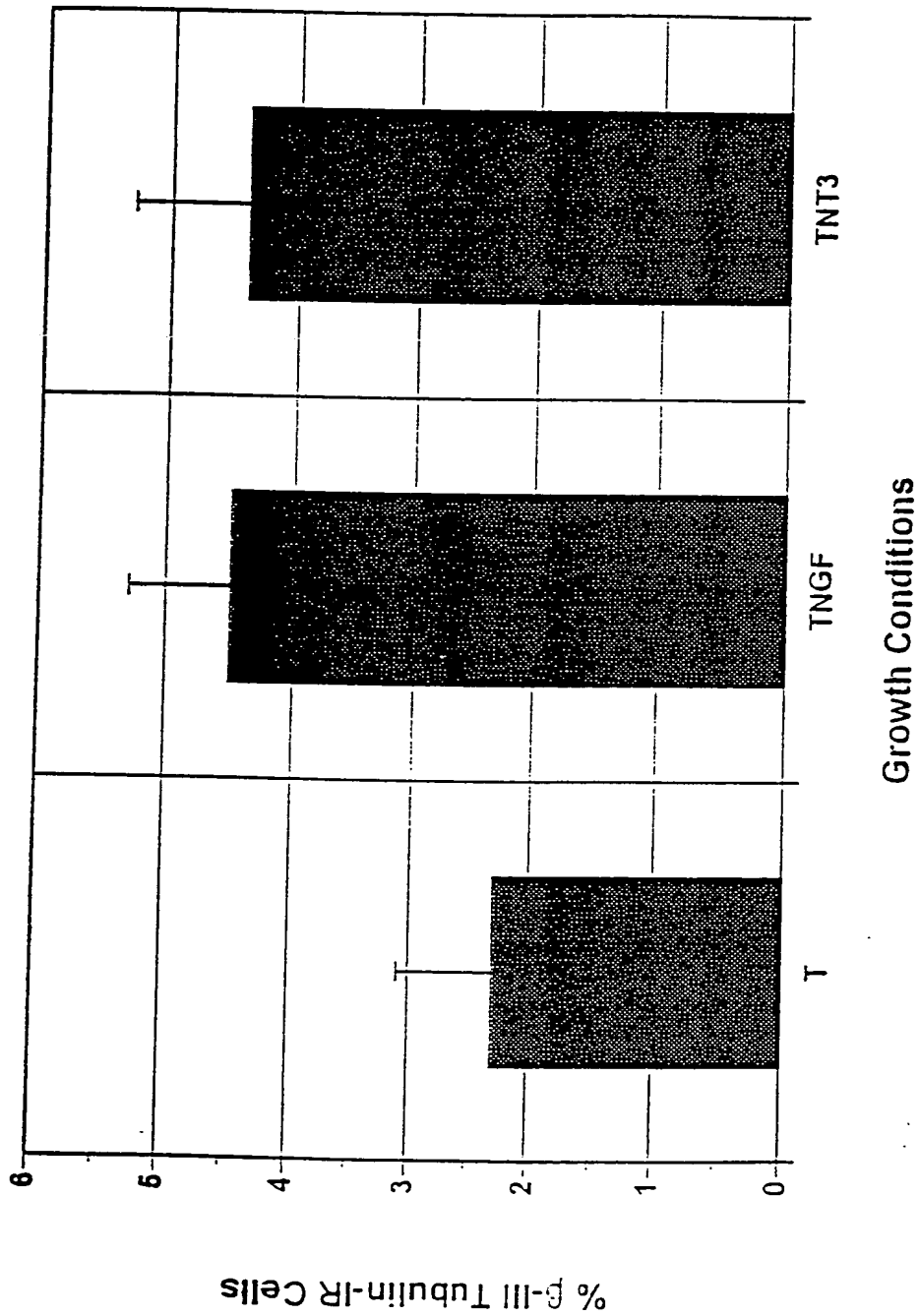


FIG. 13

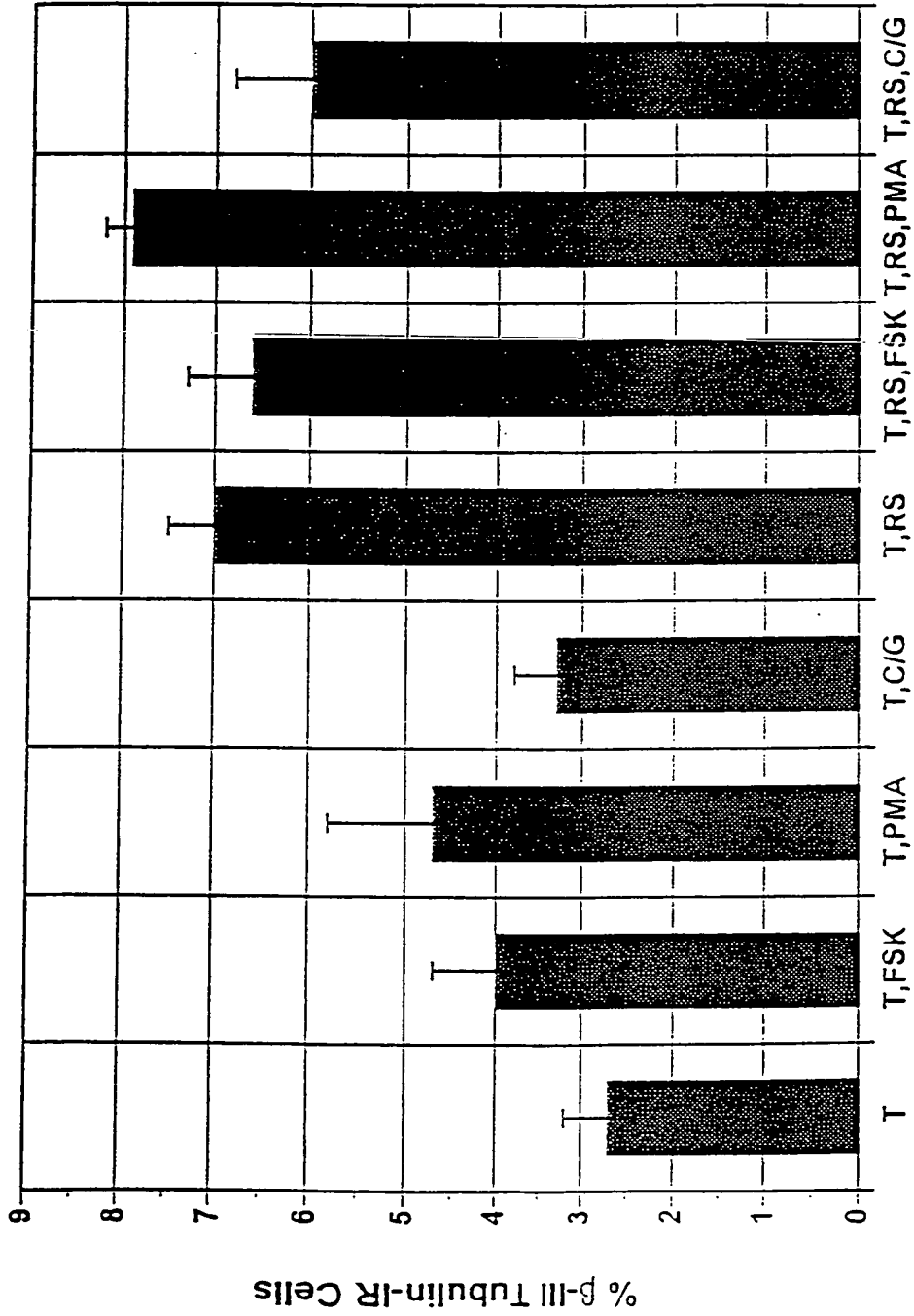


FIG. 14

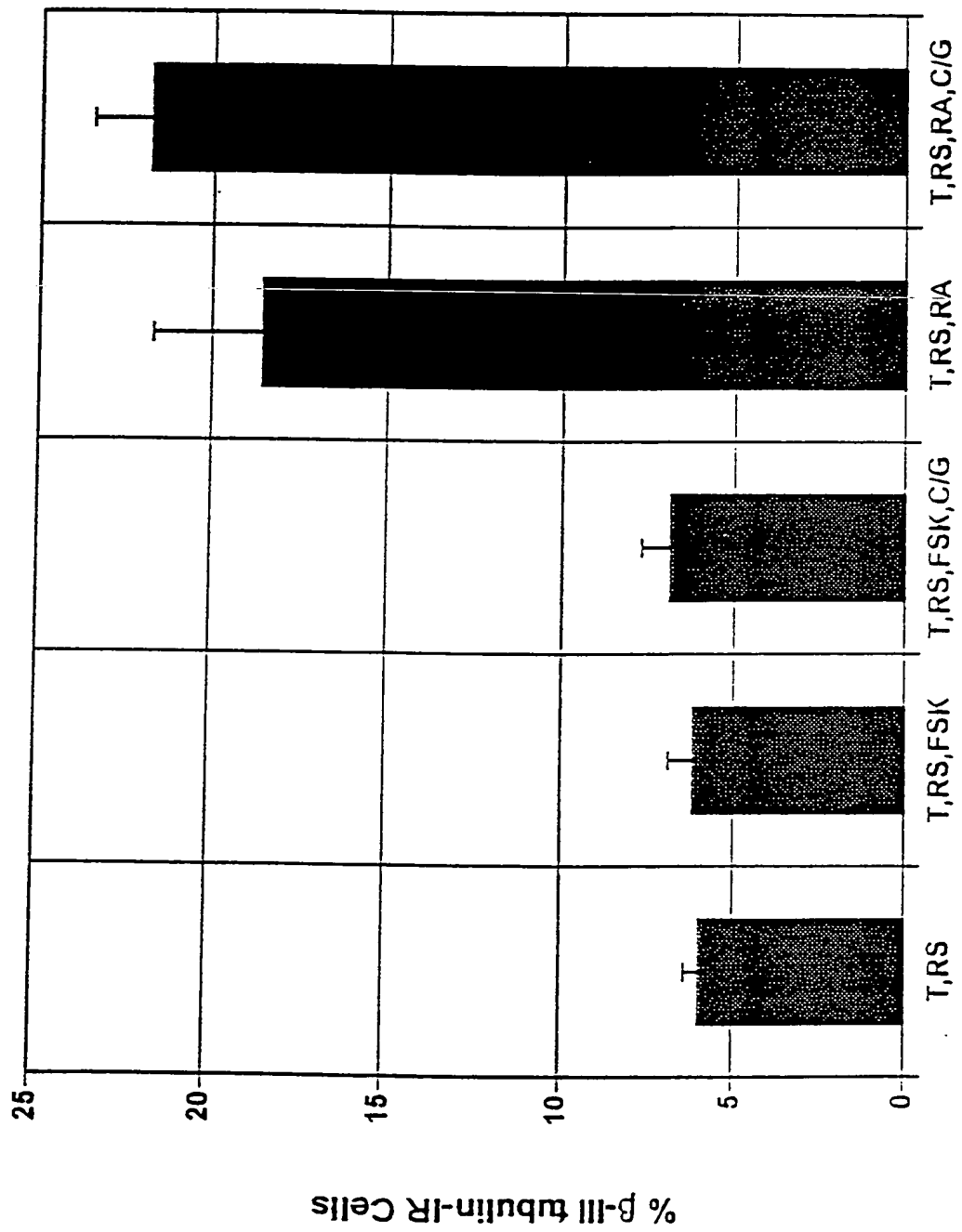
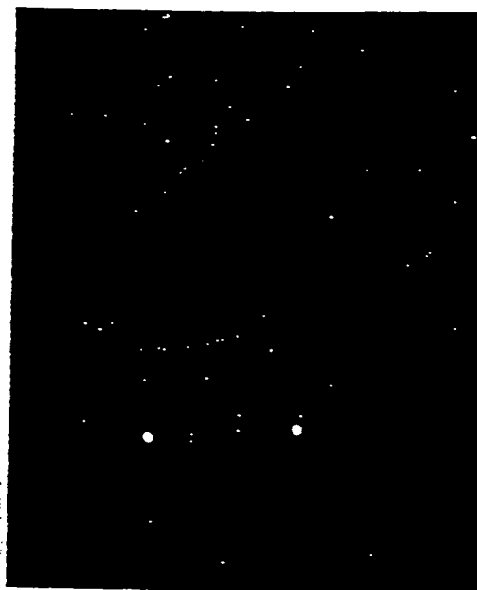


FIG. 15A and 15B



A



B

FIG. 17A-17F

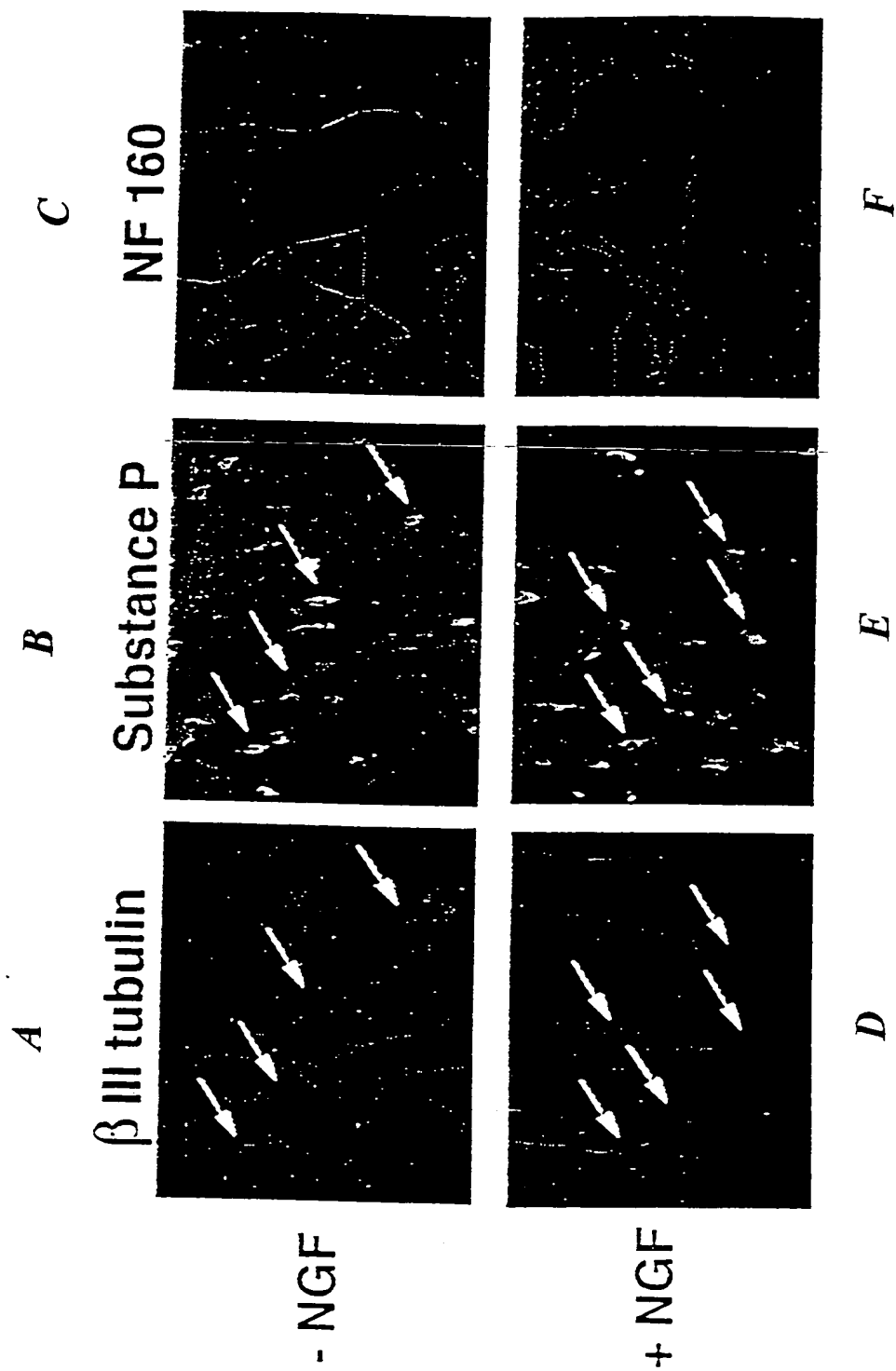


FIG. 18A-18F

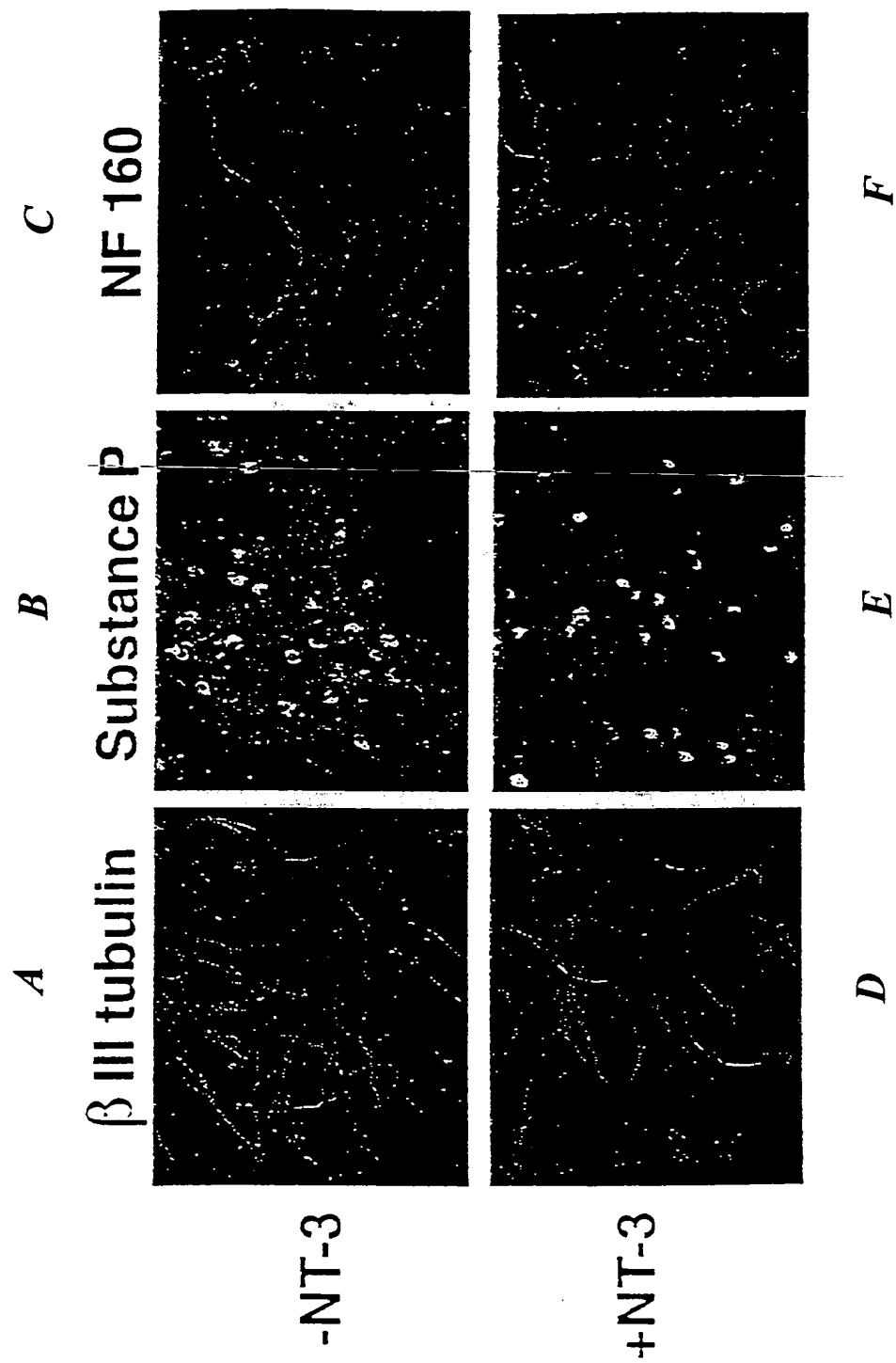


FIG. 19

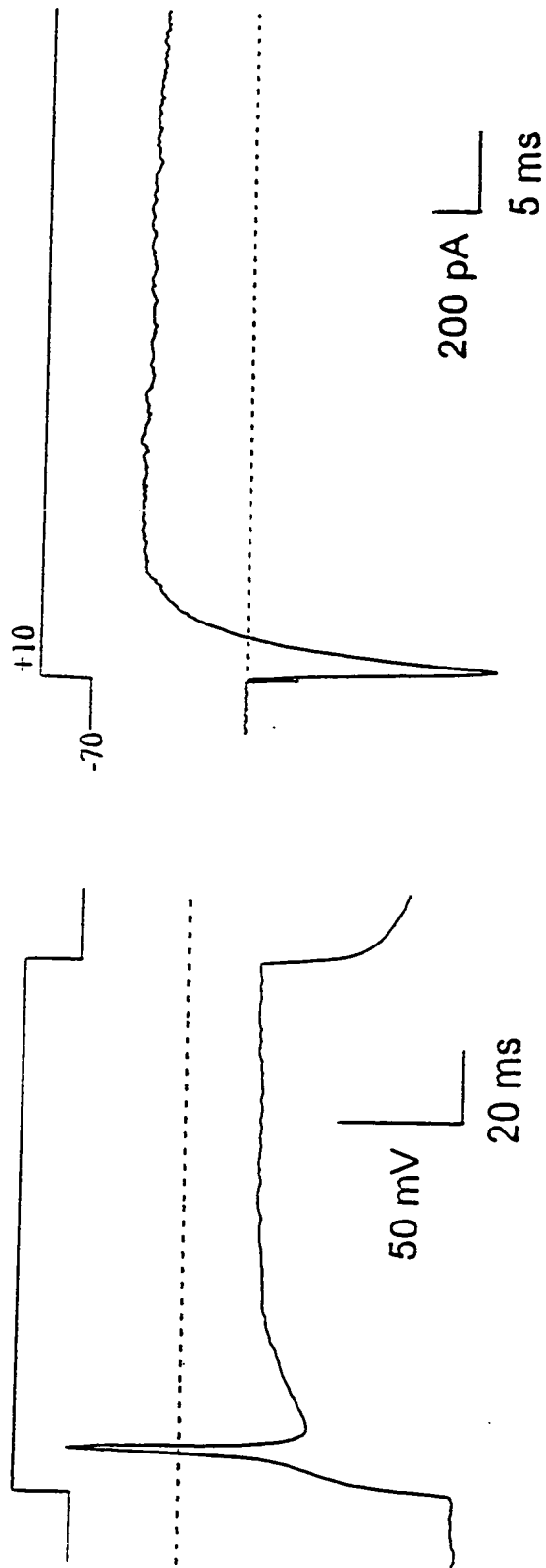


FIG. 20

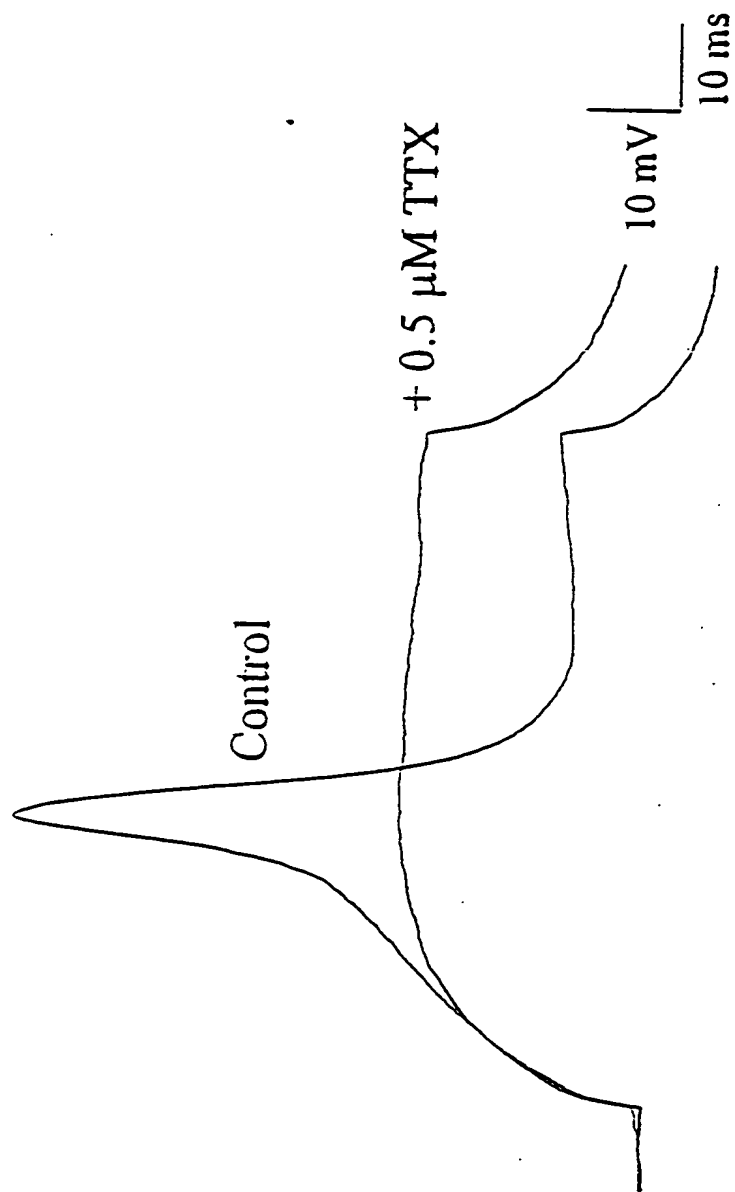


FIG. 21

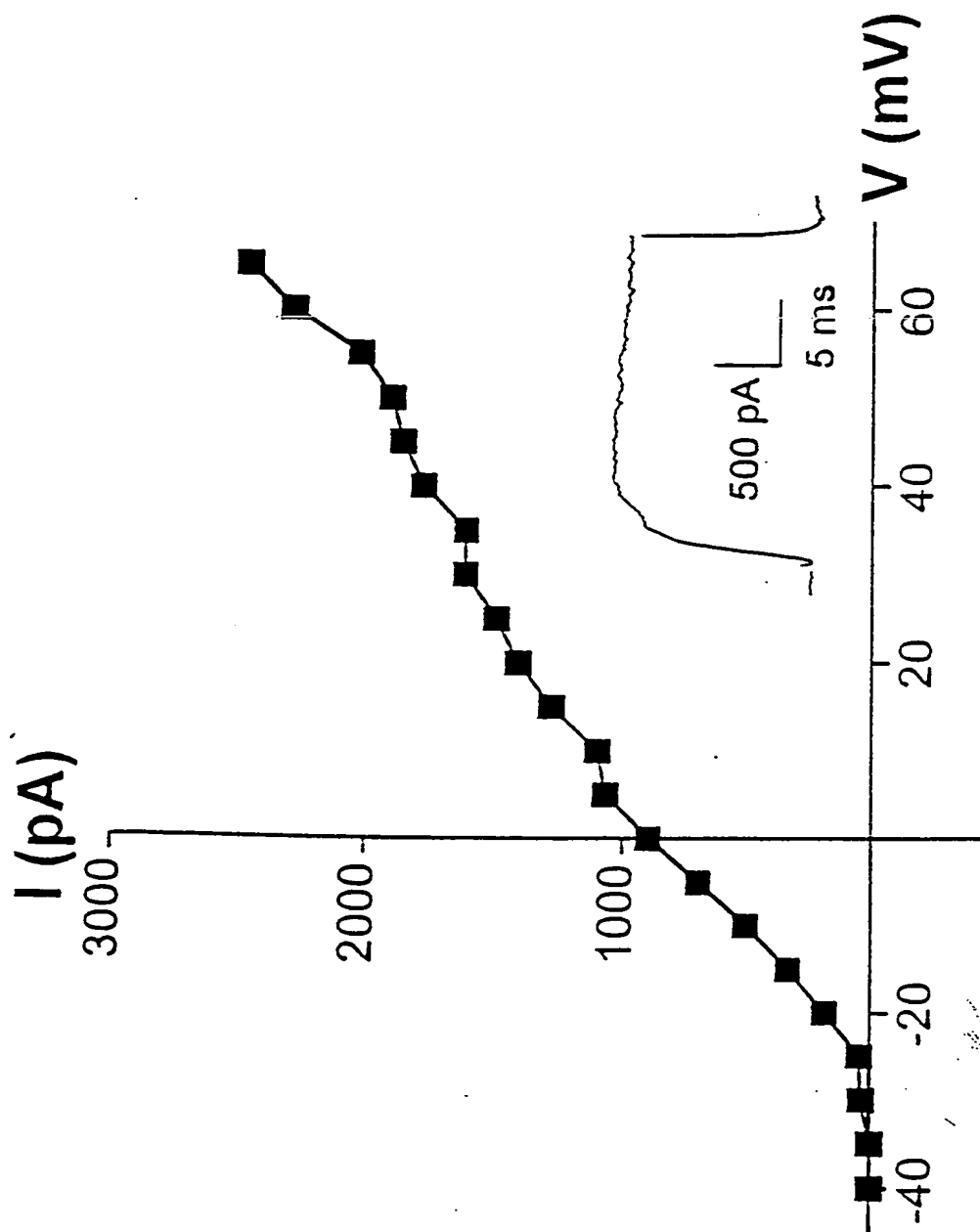


FIG. 22

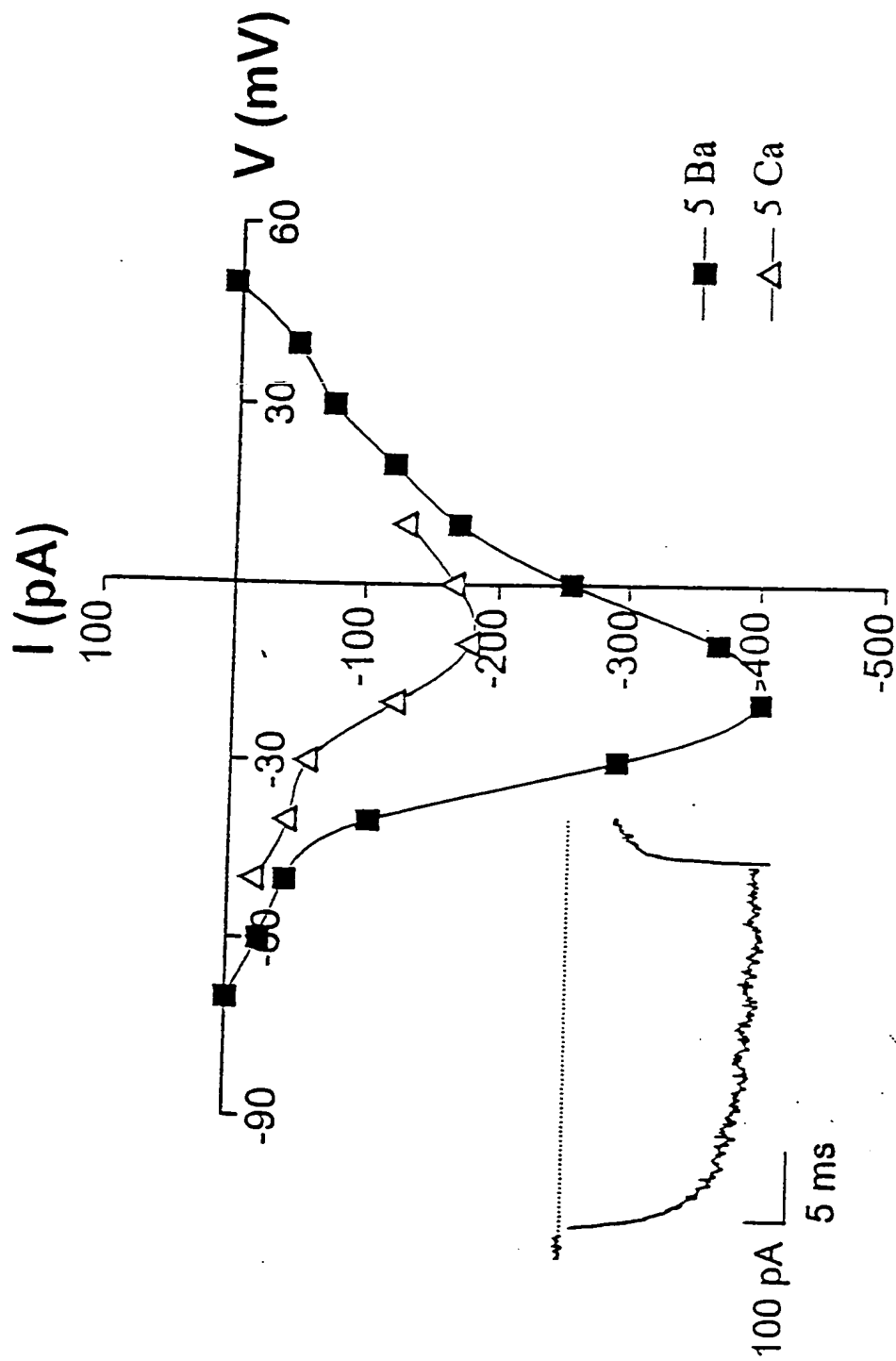


FIG. 23

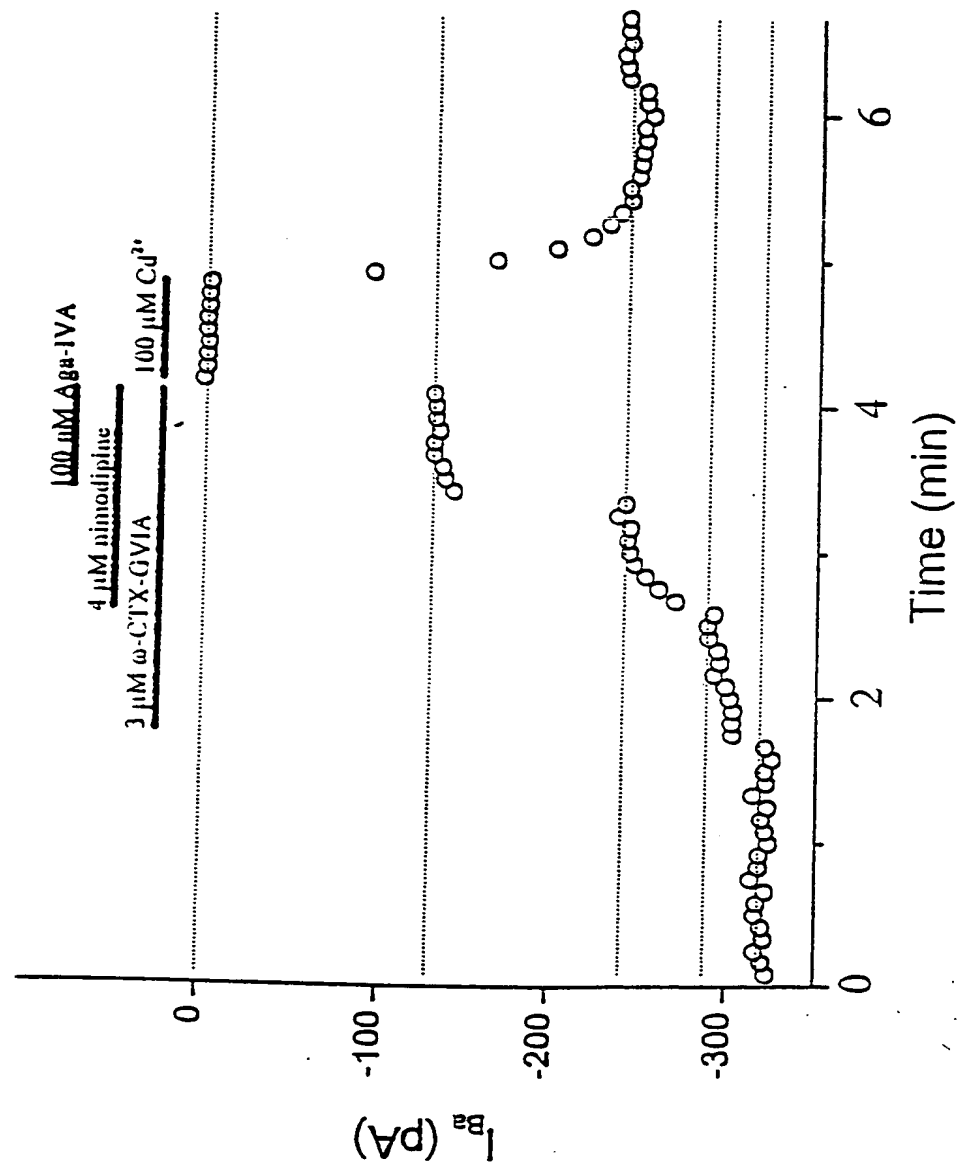


FIG. 24

10 μ M $\alpha\beta$ -meATP

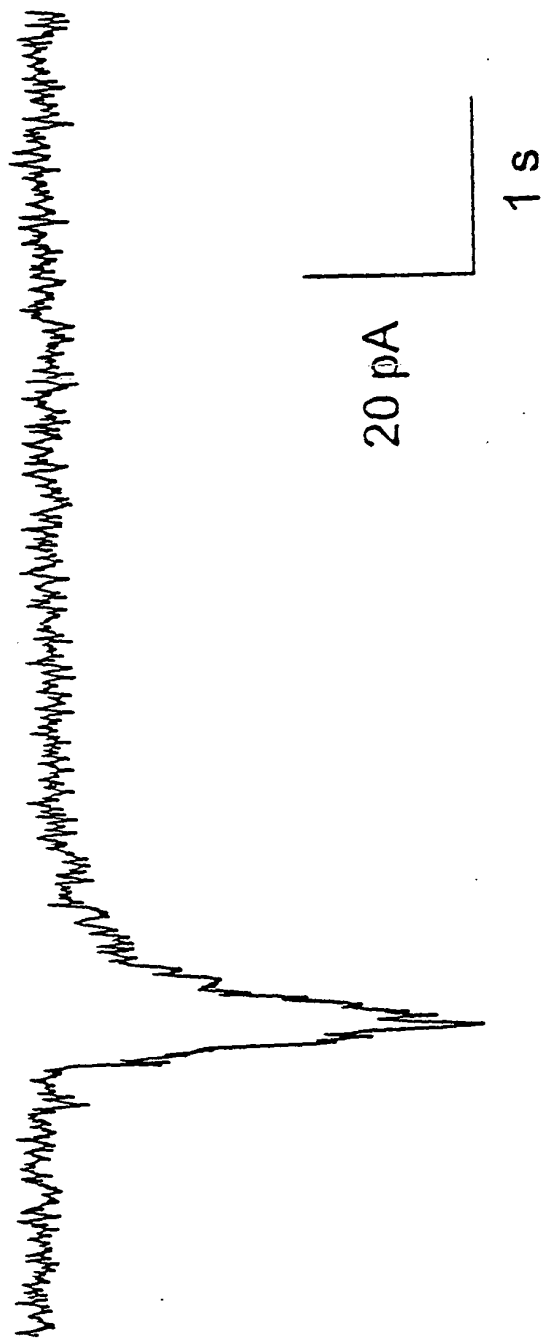


FIG. 25

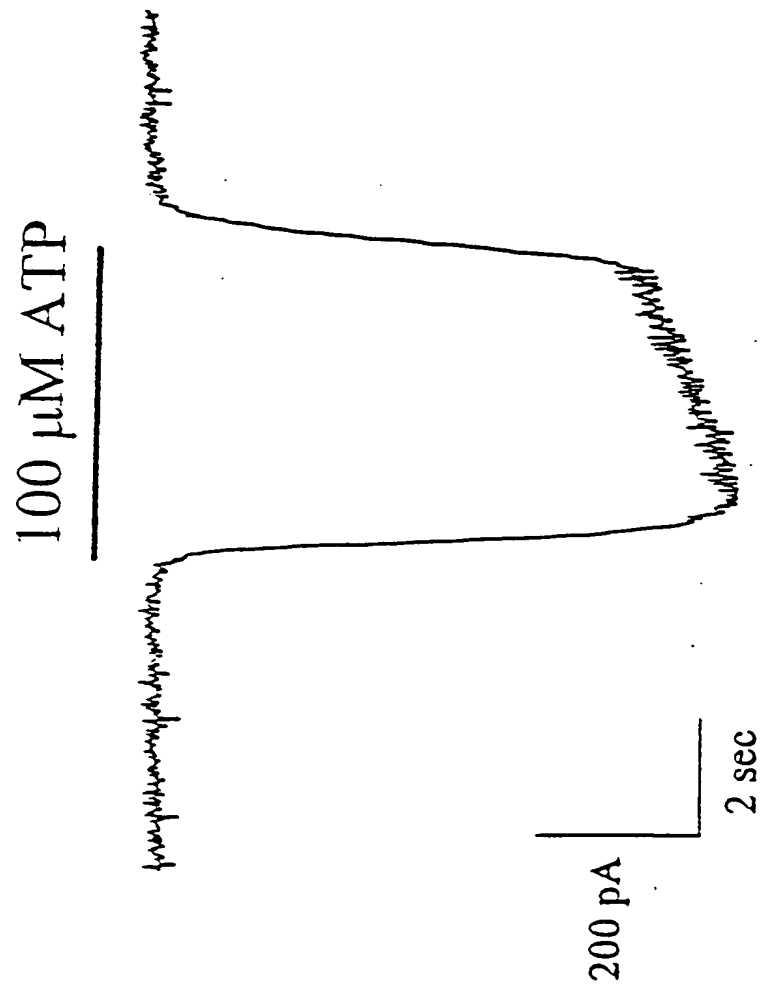


FIG. 26

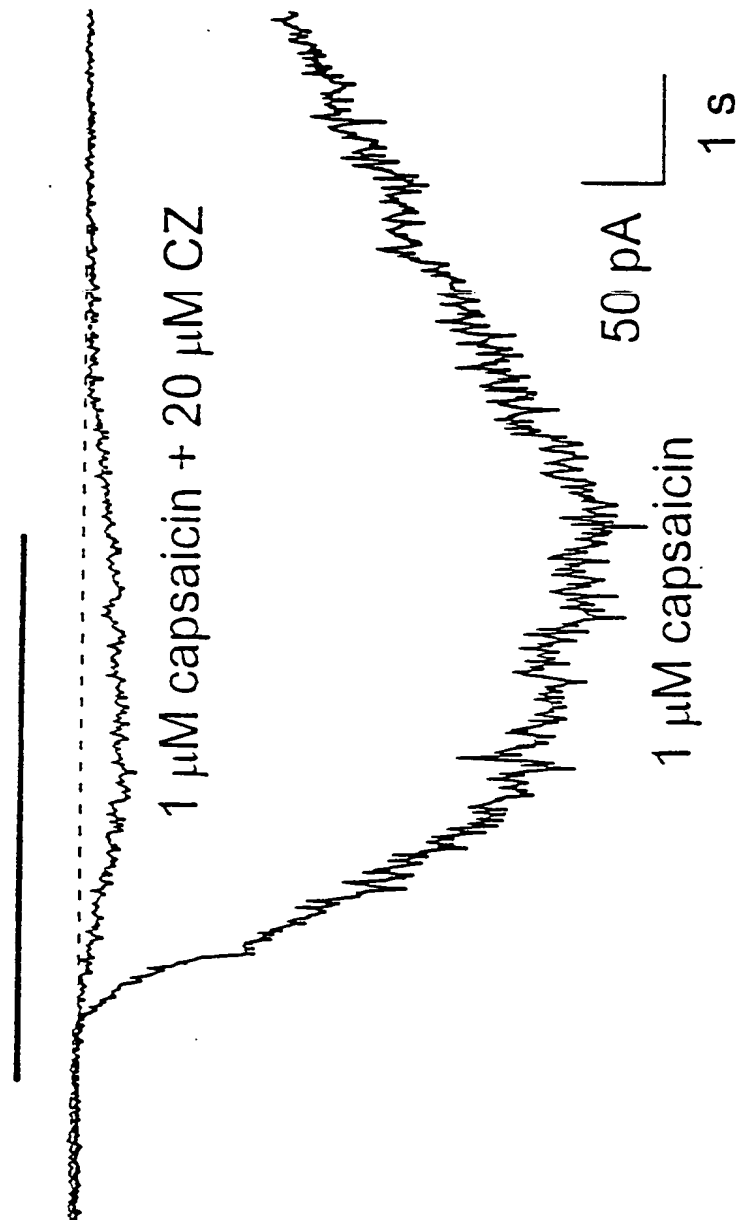


FIG. 27

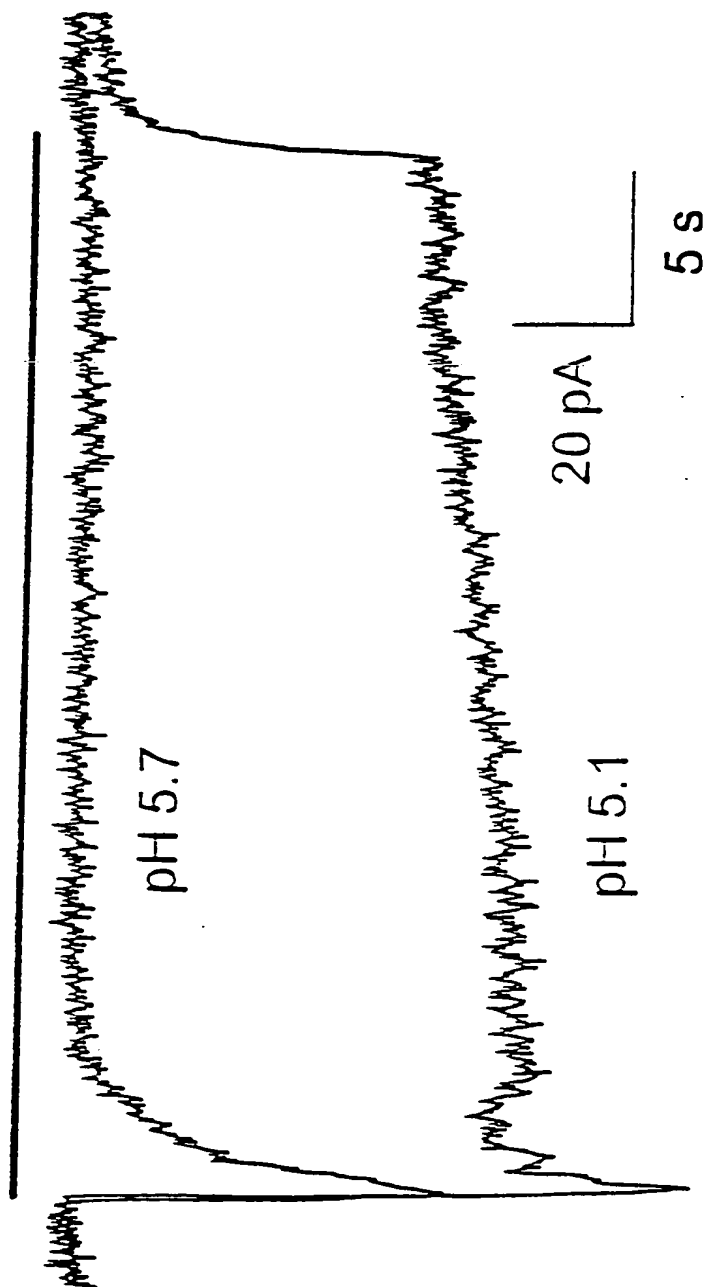


FIG. 28

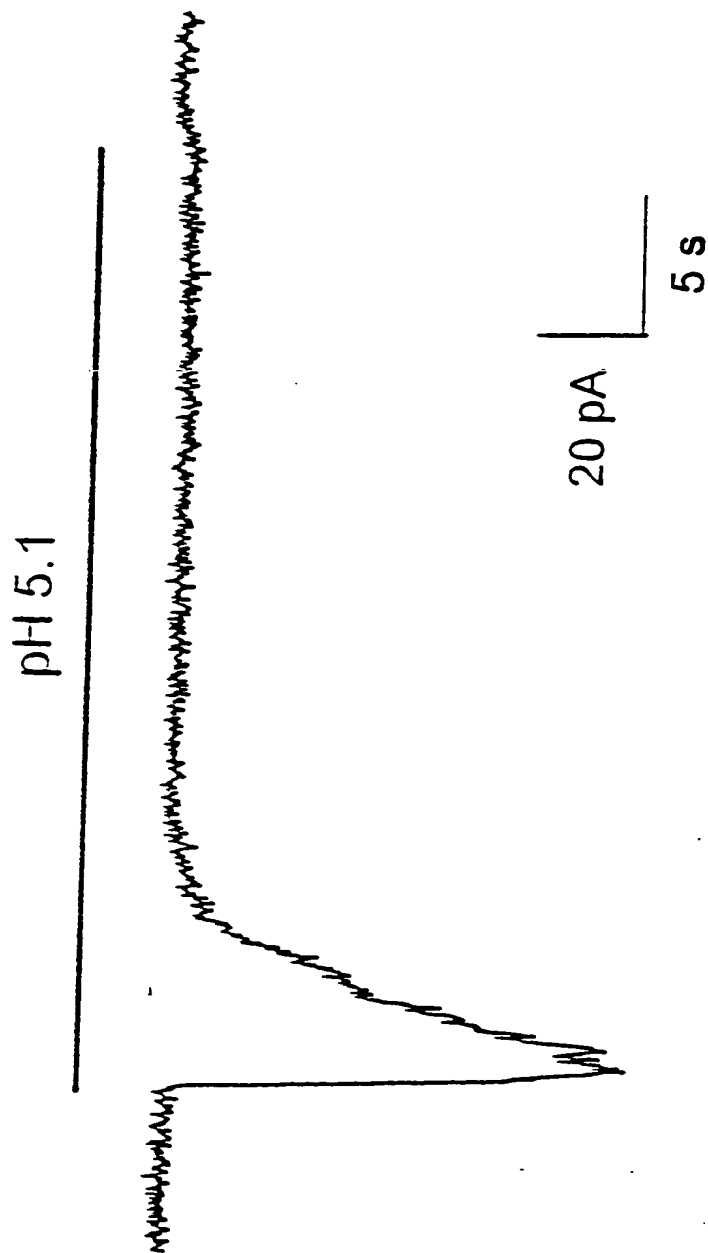


FIG. 29

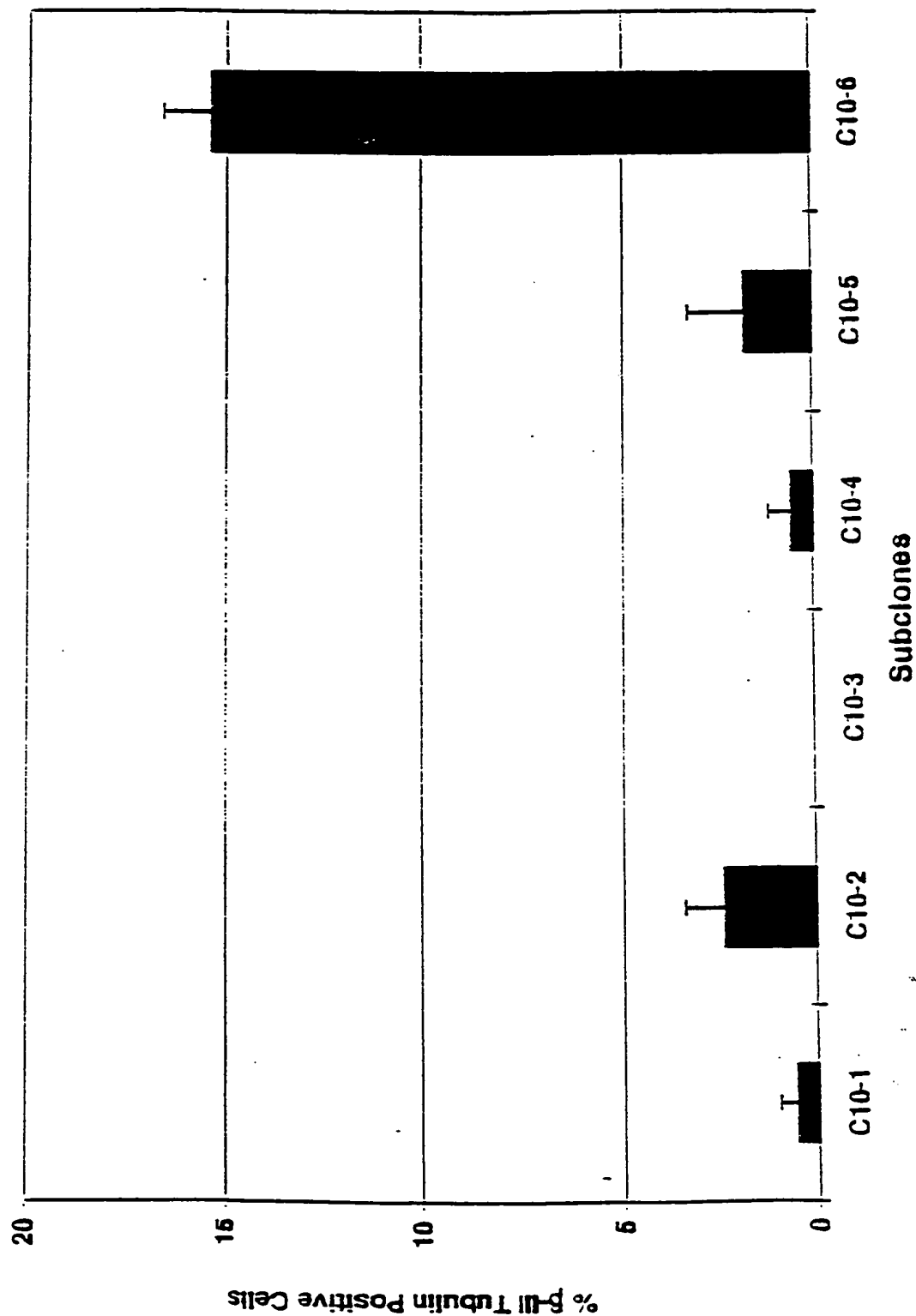
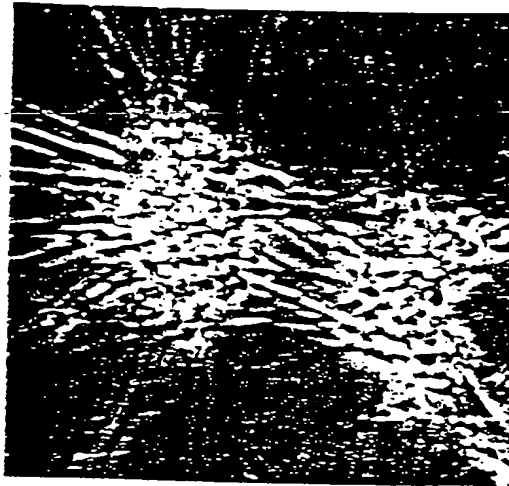


FIG. 30



09060409 041493

FIG. 31

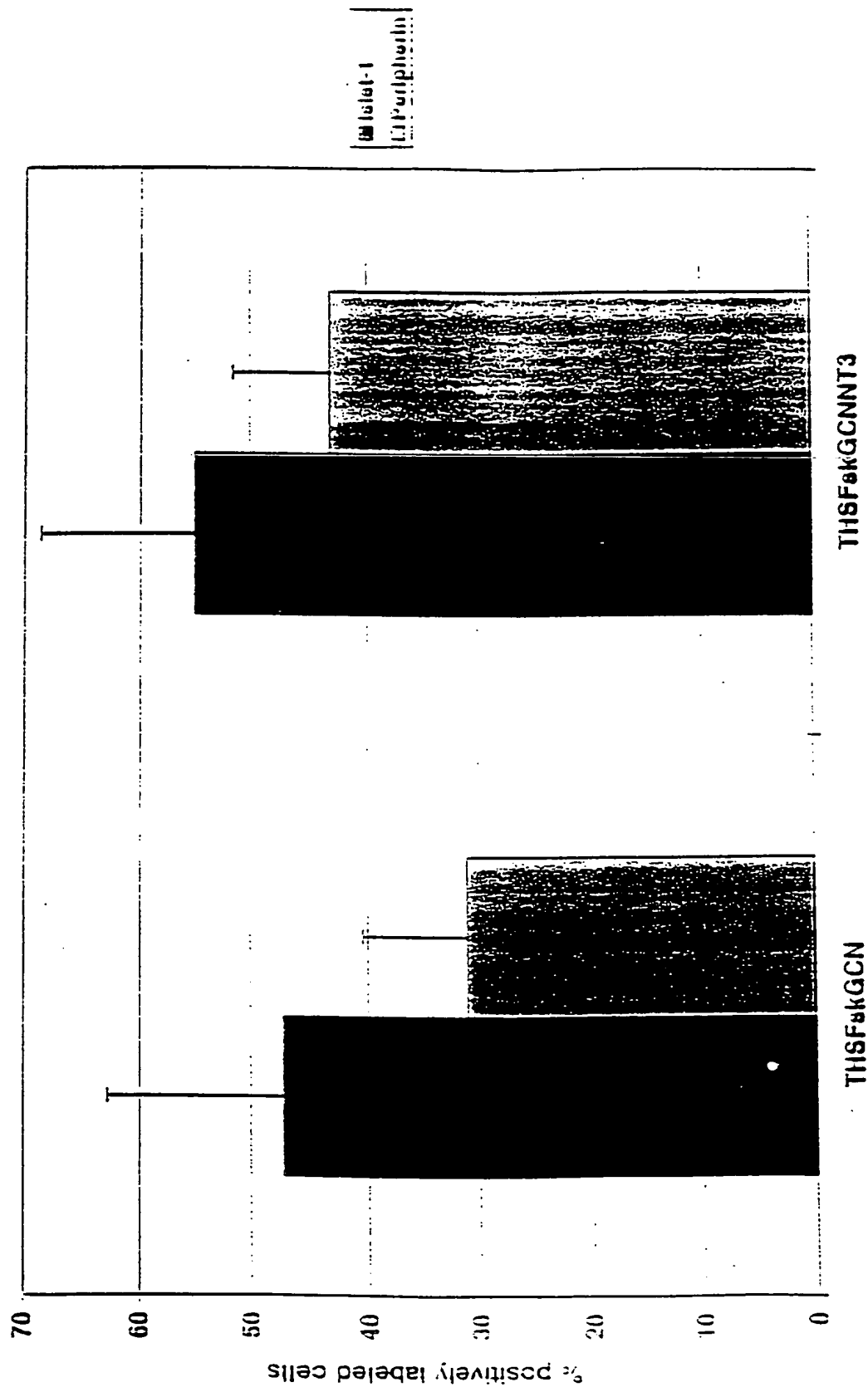


FIG. 32



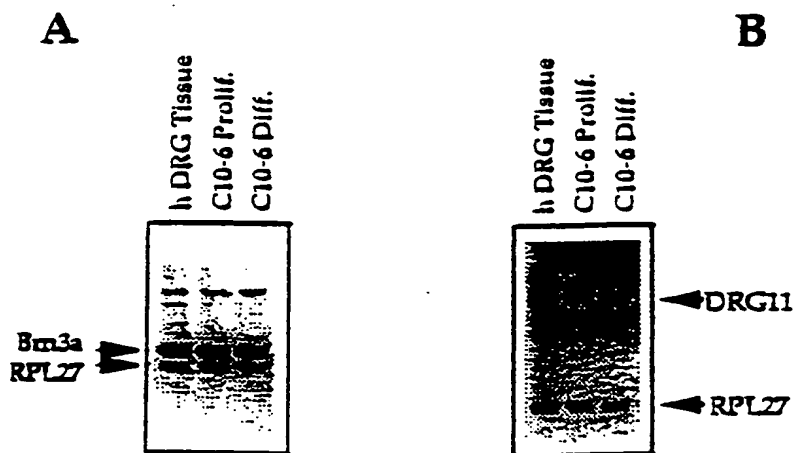


FIG. 33A and 33B

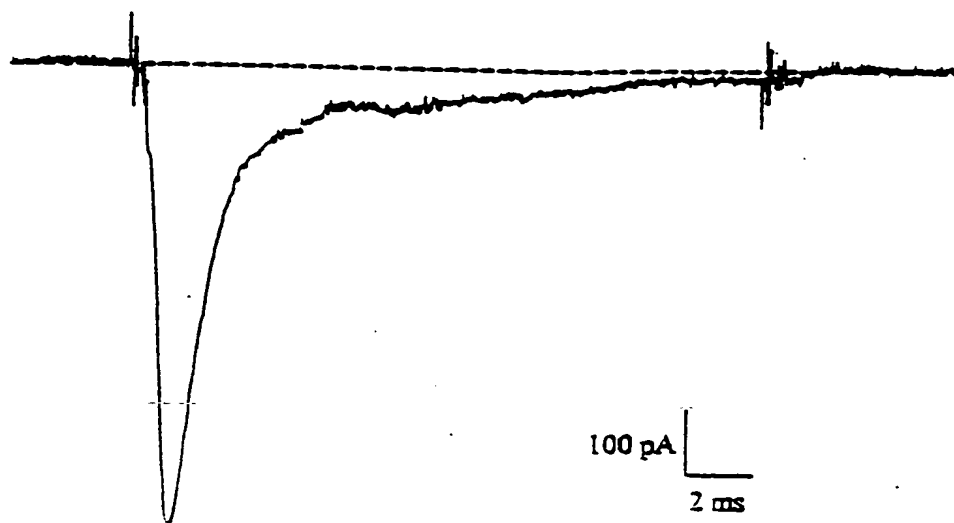


FIG. 34

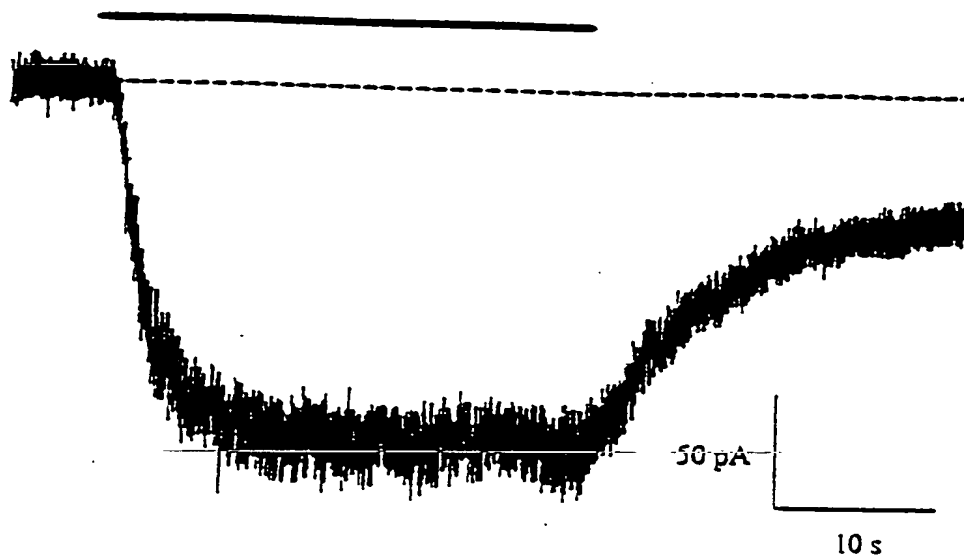


FIG. 35

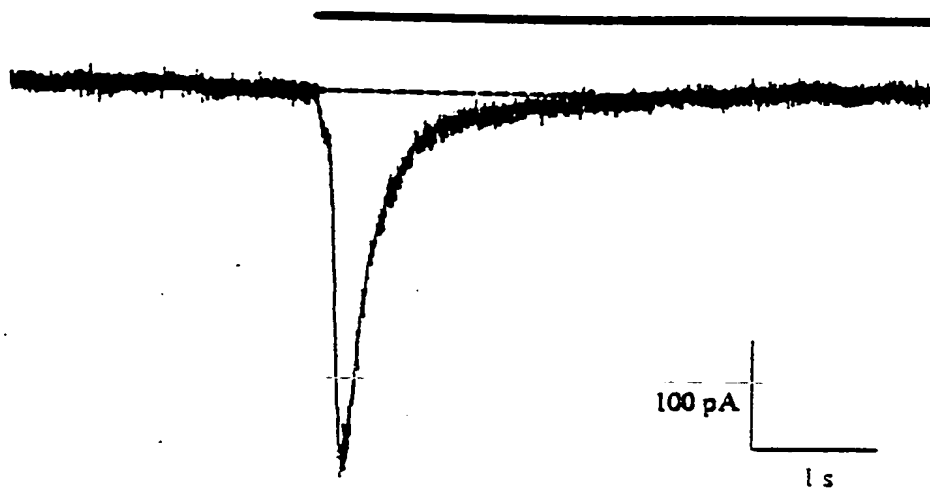


FIG. 36

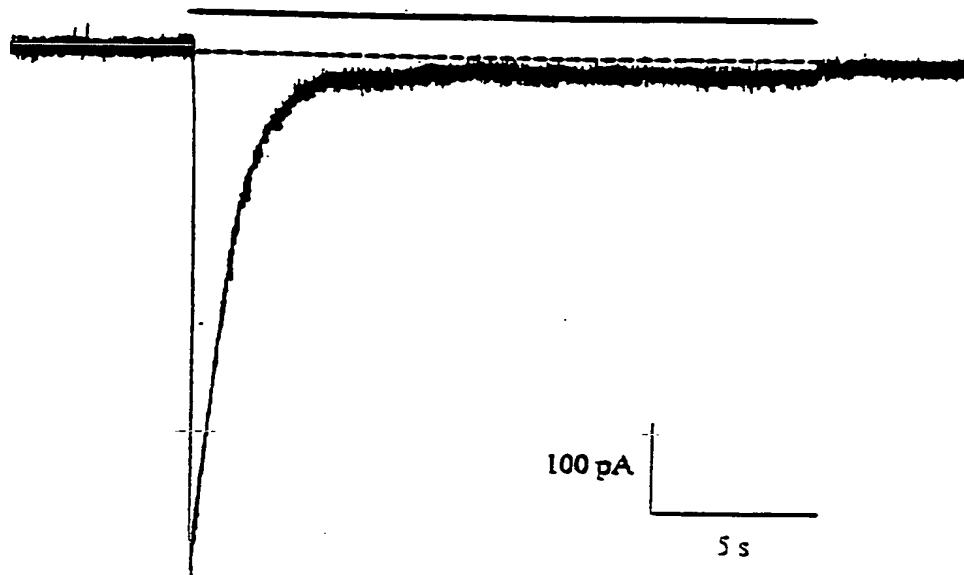


FIG. 37